

Vol. 31, No. 1 Jan . 2 0 1 5

DOI:10.13652/j. issn. 1003-5788. 2015. 01. 019

ELISA 试剂盒法与 GC—MS 法检测红酒中 塑化剂的比较研究

Using GC—MS and ELISA kits for comparative analysis of plasticizers in red wine

曹必溥¹ 曹 庸² 苗建银²

CAO Bi-pu¹ CAO Yong² MIAO Jian-yin²

曹素芳² 刘 果² 谭荣威²

CAO Su-fang² LIU Guo² TAN Rong-wei²

- (1. 华南农业大学生命科学学院,广东 广州 510642; 2. 华南农业大学食品学院,广东 广州 510642)
- (1. College of Life Sciences, South China Agricultural University, Guangzhou, Guangdong 510642, China;
- 2. College of Food Science, South China Agricultural University, Guangzhou, Guangdong 510642, China)

摘要:采用气相色谱—质谱法和 ELISA 试剂盒法对比分析红酒中塑化剂含量。通过改进气相色谱—质谱法样品检测前处理条件,以及两种检测方法的对比分析,研究适合红酒中塑化剂的检测方法。结果表明: ELISA 试剂盒法与 GC—MS 法两种方法的前处理对塑化剂的萃取效果相差不大,且检测出红酒中塑化剂的主要种类为 DIBP、DBP、DEHP。GC—MS 法检测红酒中塑化剂具有高精准度和高回收率,完全满足红酒中塑化剂检测的要求;试剂盒法的检测值比GC—MS 法的检测值要大 3.4~5.5 倍,但是这不影响ELISA 试剂盒法作为一种初步的快速检测方法的应用。

关键词:GC-MS;ELISA;红酒;塑化剂

Abstract: There were two methods to detect the plasticizers of red wine. The first one was a traditional method(GC-MS) and another one was a new method-ELISA kit. An improved pre-processing of GC-MS and the comparative analysis of the two methods was used to find a novel detection method. The results: there was a little difference for the rate of plasticizer extraction with different pre-treatment. And DIBP, DBP, DEHP were detected. The GC-MS method demonstrated high precision and recovery. The GC-MS method was a excellent method to detect the plasticizers of red wine. The detection results of ELISA kit were 3. 4 to 5. 5 times larger than the GC-MS method. It was enough for ELISA kit as a rapid detection method of the plasticizers of red wine.

基金项目:国家科技支撑计划(编号:2012BAK17B00)

作者简介:曹必溥(1988—),男,华南农业大学在读硕士研究生。

E-mail: caobipu@163. com

通讯作者:曹庸

收稿日期:2015-01-09

82

Keywords: GC-MS; ELISA; wine; plasticizer

据法国国际葡萄酒与烈酒展览会公布的一项最新研究^[1],中国已超过法国和意大利,成为全球最大的红酒消费国。近年来酒类中塑化剂超标的问题引起了人们强烈关注,然而关于红酒中塑化剂检测的研究未见于报道。塑化剂又称增塑剂,是一种增加材料的柔软性或使材料液化的添加剂,其本质是一类邻苯二甲酸酯类化合物,主要是用于塑料制品中,增加塑料的弹性。研究^[2-4]显示,塑化剂为激素类环境污染物,对人体和动物均有一定的危害,可致癌、致畸及免疫抑制。

目前常用的塑化剂检测方法有:气相色谱^[5-7](GC)、高效液相色谱法^[8,9](HPLC)、气质联用法^[10-13](GC—MS)、液质联用法^[14-16](HPLC—MS)。然而在塑化剂检测中,不同试验样品的检测前处理具有较大差异,且可能对检测结果的准确性产生影响。相比上述常用的检测方法,ELISA 试剂盒法是一种新型的检测方法。ELISA 是以免疫学反应为基础,将抗原、抗体的特异性反应,以及酶的高效催化作用相结合的一种敏感性很高的试验技术,但这种新型的塑化剂检测方法目前还没有广泛使用,其检测准确性有待验证和分析。本研究拟分别采用经典的检测塑化剂法——GC—MS法,与新型的快速检测方法——ELISA 试剂盒法,对比分析红酒中的塑化剂含量,同时对 GC—MS 法样品检测前处理进行了改进,并以 GC—MS 法为标准来检验 ELISA 试剂盒法的检测

效果。

1 材料与方法

1.1 材料与试剂

红酒:某3种品牌,市售;

邻苯二甲酸二丁酯(DBP)ELISA 检测试剂盒:北京普赞生物技术有限公司:

SPE 固相萃取小柱:迪马科技有限公司。

16 种邻苯二甲酸酯类的混合标准品(文中所指的混标如无其他说明,均指此标准品):邻苯二甲酸二甲酯(DMP)、邻苯二甲酸二乙酯(DEP)、邻苯二甲酸二异丁酯(DIBP)、邻苯二甲酸二丁酯(DBP)、邻苯二甲酸二(2-甲氧基)乙酯(DMEP)、邻苯二甲酸二(4-甲基-2-戊基)酯(BMPP)、邻苯二甲酸二(2-乙氧基)乙酯(DEEP)、邻苯二甲酸二戊酯(DPP)、邻苯二甲酸二己酯(DHXP)、邻苯二甲酸丁基苄基酯(BBP)、邻苯二甲酸二(2-丁氧基)乙酯(DBEP)、邻苯二甲酸二环己酯(DCHP)、邻苯二甲酸二(2-乙基)己酯(DEHP)、邻苯二甲酸二苯酯(DCHP)、邻苯二甲酸二正辛酯(DNOP)、邻苯二甲酸二壬酯(DNP):迪马科技有限公司;

丙酮、正己烷、甲醇、甲基叔丁基醚:色谱级,迪马科技有限公司;

试验用水均为去离子水。

1.2 仪器与设备

GC-MS:7890A-5975C型,安捷伦有限公司;

酶标仪:EnSpire 2300型,铂金埃尔默仪器有限公司;

纯水系统: POSEIDON-R70 型, 厦门锐思捷科学仪器有限公司;

旋涡振荡器: XW-80A 型,上海精科实业有限公司; 低速离心机: DL-5-B 型,中国上海安亭科学仪器厂。

1.3 方法

1.3.1 GC-MS 法检测红酒中塑化剂

- (1) 样品预处理:准确量取 5 mL 样品置于具塞玻璃管中,加入 10 mL 体积比为 1 : 1 的正己烷和甲基叔丁基醚混合液(简称混合萃取液),充分涡旋混合 4 min,4 000 r/min离心 20 min,取上清液,再用 10 mL 混合液萃取液重复提取2 次,合并 3 次上清液,于 40 $\mathbb C$ 水浴中氮吹至近干,用正己烷定容至 2 mL,待净化。
- (2) 预处理样品净化:① 活化:向 SPE 小柱中加入 1.0 g无水硫酸钠,再依次加入丙酮 5 mL、正己烷 5 mL,弃去流出液;② 上样:加入待净化液,流速控制在 1 mL/min 内,收集流出液;③ 洗脱:依次加入正己烷 5 mL、4 %丙酮—正己烷溶液 5 mL,接收流出液,合并上样、洗脱流出液;④ 重新溶解:40 ℃缓慢氮气流条件下吹至近干,用正己烷定容至 1 mL,供 GC—MS 检测。
- (3) GC—MS 检测条件:色谱柱:DB-5 石英毛细管柱(30 m × 0.25 mm × 0.25 μm);进样口温度:280 ℃;升温程序:

初始温度 $80 \, ^{\circ} \, ^{\circ}$,保持 $1 \, ^{\circ}$ min ,以 $20 \, ^{\circ} \, ^{\circ}$ min 升温至 $220 \, ^{\circ} \, ^{\circ}$,保 持 $1 \, ^{\circ}$ min ,5 $^{\circ} \, ^{\circ}$ min 升温至 $300 \, ^{\circ} \, ^{\circ}$ 保持 $20 \, ^{\circ}$ min ,载 气:氦 气,流速: $1 \, ^{\circ}$ mL/min ;进样方式:不分流进样;进样量: $1 \, ^{\circ}$ L;色谱与质谱接口温度: $280 \, ^{\circ} \, ^{\circ}$;EI 离子源, $70 \, ^{\circ}$ eV;检测器温度: $280 \, ^{\circ} \, ^{\circ}$;监测方式:选择离子扫描模式(SIM);溶剂延迟: $5 \, ^{\circ}$ min。

- (4) GC-MS 法检测塑化剂加标回收率分析: 取 1 mL 1 mg/kg的混标添加到 5 mL 红酒中即得加标量为 1 mg/kg 的加标组. 将加标组置于具塞玻璃管中, 加入 10 mL 混合萃取液, 后续步骤同 1.3.1(1)。加标组做 2 个平行试验。
- (5) 样品的检测:使用 GC—MS 对处理好的样品进行检测,每一个样品做 2 个平行试验。
- 1.3.2 ELISA 试剂盒法检测红酒中塑化剂 由于目前市售的塑化剂 ELISA 试剂盒都只能检测单一的塑化剂,故在本研究中仅选择了邻苯二甲酸二丁酯(DBP) ELISA 试剂盒作为试验材料。其中洗涤工作液是用去离子水将试剂盒自带的浓缩洗涤液(10 倍)按 1:9 体积比进行稀释来配制的,样品稀释液是用去离子水将色谱纯甲醇按 35:65 体积比进行稀释来配制的。
- (1) 检测前处理:在干净的玻璃试管中加入样品 5 mL,加入色谱纯的正己烷 4 mL,盖上,振荡 3 min,4 000 r/min 离心 20 min,取上清液 1 mL,于 40 ° 水浴中氮吹至近干。吹干后用 1 mL 35%的甲醇重溶,转移至 2 mL 装样瓶待测。
- (2) 样品的检测:将所需试剂从冰箱中取出,置于室温 $(20\sim25~{\mathbb C})$ 平衡 $30~{\rm min}$ 以上,每种液体试剂使用前均须摇 匀。取出需要数量的微孔板。将不同样本对应的微孔按序 编号,每个样本做 $2~{\rm A}$ 平行,并记录样本孔所在的位置。加样品 $50~{\rm \mu L}$ 列对应的微孔中,加入 DBP 抗试剂 $50~{\rm \mu L}$ /孔,再加入 DBP 酶标物 $50~{\rm \mu L}$ /孔,轻轻振荡混匀,用盖板膜盖板后 $37~{\mathbb C}$ 恒温培养箱中反应 $40~{\rm min}$ 。小心揭开盖板膜,将孔内液体甩干,用洗涤工作液 $300~{\rm \mu L}$ /孔,充分洗涤 $5~{\rm cm}$ 次,每次间隔 $30~{\rm s}$,用吸水纸拍干。加入显色液 $100~{\rm \mu L}$ /孔,用盖板膜盖板后置 $37~{\mathbb C}$ 恒温培养箱反应 $10~{\rm min}$ 。加入终止液 $50~{\rm mu}$ 人,轻轻振荡混匀,设定酶标仪于 $450~{\rm mm}$ 处 $(5~{\rm min}$ 内读完数据),测定每孔 OD 值。
- (3) 标准曲线的绘制:使用试剂盒自带的 DBP 标准品制作标准曲线,其标准品浓度分别为 0.00,0.09,0.27,0.81,2.43,7.29 mg/kg,具体操作见上述操作步骤。绘制标曲时采用双对数模型进行标准曲线的拟合。使用试剂盒自带的DBP 标品制作标准曲线,以B的自然对数 $\ln(B)$ 为纵坐标,以标准溶液实际浓度 C(mg/kg)的自然对数 $\ln(C)$ 为横坐标。吸光度比值按式(1)计算:

$$B = \frac{A}{A_0 - A} \tag{1}$$

式中:

B──吸光度比值;

A——标准溶液或样本溶液在 450 nm 波长处的平均吸

光度值;

 A_0 ——0 $\mathrm{mg/kg}$ 标准溶液在 $450~\mathrm{nm}$ 波长处的平均吸光度值。

1.3.3 GC-MS 法和 ELISA 试剂盒法的比较分析

- (1) 两种不同前处理方法的比较分析:使用气质联用仪分别对 GC—MS 法前处理的样品和 ELISA 试剂盒法前处理的样品进行检测。每一种前处理方法做 2 次平行试验。
- (2) GC—MS 法和 ELISA 试剂盒法检测结果的比较分析:从某超市中随机选购 3 种不同品牌的红酒,分别采用本研究中建立的 ELISA 试剂盒法和 GC—MS 法检测红酒中塑化剂的含量,对两种方法的检测结果进行比较。每一种红酒进行检测时做 2 次平行试验。

2 结果与分析

2.1 GC-MS 法加标回收分析

在本试验条件下,1 mg/kg 混标中的 16 种塑化剂均已分离开来,且峰形良好,见图 1。通过对红酒进行加标处理,分析红酒加标回收率来验证该方法的精准度。其加标平均回收率为 93.0%,最高为 109.0%,最低为 68.0%,其中常见塑化剂 DIBP、DBP、DEHP 的回收率分别为 80.0%,90.0%, 90.0% 9

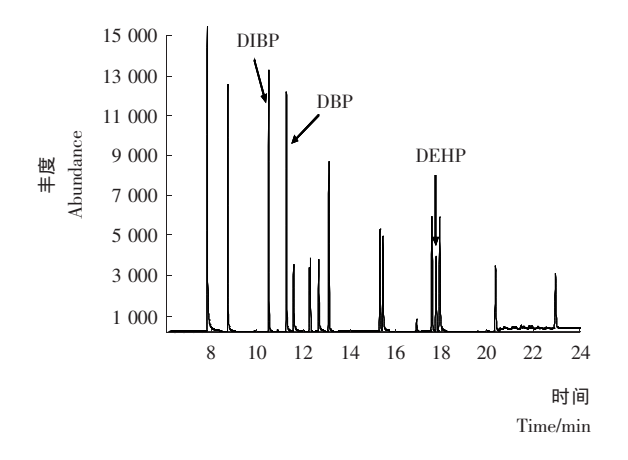


图 1 混标(1 mg/kg)在 SIM 扫描模式下的 总离子流色谱图

Figure 1 The chromatograms of 16 phthalate esters under SIM mode

2.2 GC-MS 法和 ELISA 试剂盒法的比较分析

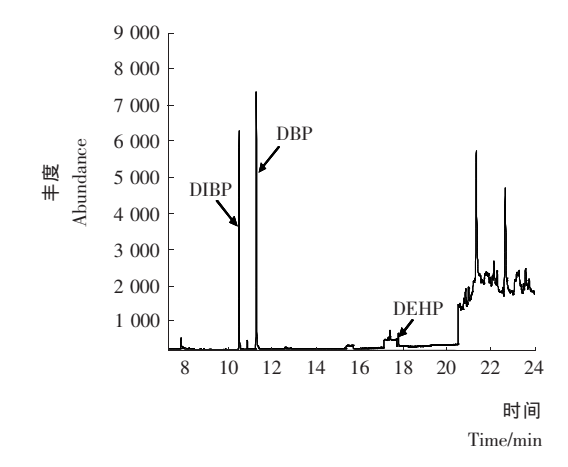
2.2.1 两种不同前处理方法的比较分析 采用两种不同的前处理方法对样品进行前处理,通过 GC—MS 进行检测,得出红酒中所含塑化剂的主要种类为 DIBP、DBP、DEHP(见图2)。两种不同前处理方法的处理过程中有很大不同,但其检测值却相差不大(表 2),说明两种前处理方法对于塑化剂的萃取效果较为一致,故 ELISA 试剂盒法前处理能够将塑化剂从样品中很好地萃取出来。

表 1 混标在红酒中的加标回收试验†

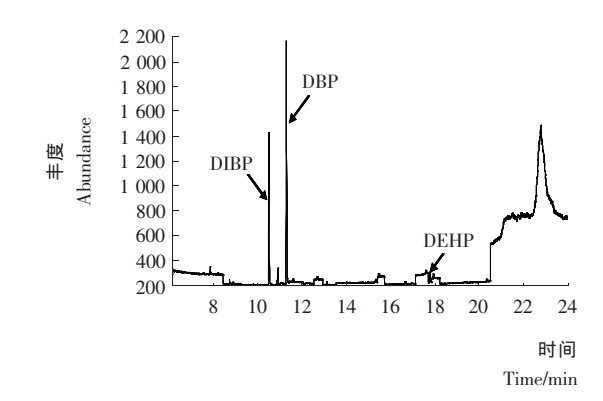
Table 1 Results of the PEAs standard recovery test in red wine

序号	化合物名称	加标回收率	序号	化合物名称	加标回收率
1	DMP	0.68±0.08	9	DHXP	1.04±0.13
2	DEP	0.85±0.13	10	BBP	0.96±0.06
3	DIBP	0.80±0.10	11	DBEP	1.04±0.08
4	DBP	0.90±0.00	12	DCHP	0.97±0.01
5	DMEP	0.90±0.11	13	DEHP	0.90±0.06
6	BMPP	0.94±0.05	14	DR	0.87±0.10
7	DEEP	0.97 \pm 0.16	15	DNOP	1.06±0.16
8	DPP	0.96±0.02	16	DNP	1.09±0.35

† 添加水平 1.0 mg/kg。



(a) GC-MS 法前处理



(b) ELISA 法前处理

图 2 不同前处理法的红酒在 SIM 扫描模式下的 总离子流色谱图

Figure 2 The chromatograms of red wine under SIM mode for different pre-treatment methods

2.2.2 GC-MS 法和 ELISA 试剂盒法检测结果的比较分析

(1) 制作 DBP 标准曲线:使用试剂盒自带的 DBP 标品制作标准曲线,得到标准曲线方程: $y=-1.041 2\ln(x) + 0.168 9, R^2 = 0.990 9(见图 3)。$

84

安全与检测 2015 **年第** 1 期

表 2 两种不同前处理法 GC-MS 检测值

Table 2 The GC-MS detection of two different

pre-treatments

 $(mg \cdot kg^{-1})$

塑化剂种类		GC-MS 法前处理	ELISA 试剂盒法前处理	
DIBP	检测值 1	0.06	0.05	
	检测值 2	0.09	0.04	
	均值	0.08	0.04	
DBP	检测值 1	0.10	0.09	
	检测值 2	0.12	0.06	
	均值	0.11	0.08	
DEHP	检测值 1	0.04	0.05	
	检测值 2	0.04	0.04	
	均值	0.04	0.04	

(2) 检测结果的比较分析:将3种不同品牌的红酒,编号为A、B、C,分别采用试剂盒法和GC—MS法进行检测。其检测结果的比较见表3。由表3可知,试剂盒法的检测值比

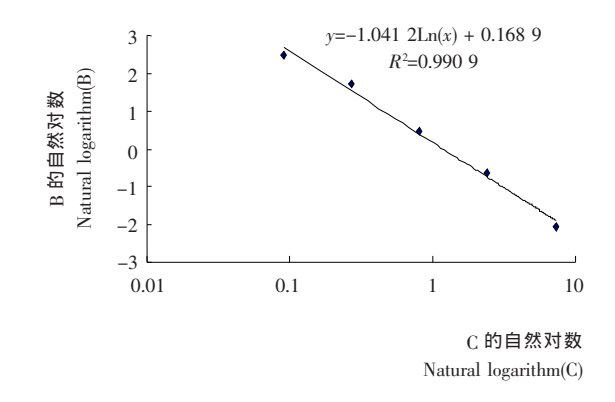


图 3 DBP 标准曲线

Figure 3 DBP standard curve on color results

GC—MS 法的检测值要大 $3.4\sim5.5$ 倍。其原因可能是试剂 盒法在检测过程中采用的是人工操作,受外界的影响较大,而 GC—MS 法在检测过程中完全是由仪器的自动运行,外界干扰对其影响很小。故比 GC—MS 法的检测值大 $3.4\sim5.5$ 倍,在可接受范围内。

表 3 试剂盒法与 GC-MS 法的对比分析

Table 3 ELISA kits and GC—MS for comparative analysis of plasticizers in red wine

红酒	试剂盒法		GC—MS 法				
	DI (mg•	BP/ kg ⁻¹)	DBP 均值/ (mg• kg ⁻¹)		BP/ kg ⁻¹)	DBP 均值/ (mg・kg ⁻¹)	试剂盒法/ GC—MS 法
A	0.30	0.38	0.34	0.11	0.10	0.10	3.4
В	0.38	0.31	0.35	0.09	0.05	0.07	5.0
С	0.48	0.40	0.44	0.05	0.11	0.08	5.5

3 结论

本研究中建立的 GC-MS 法对于红酒中塑化剂的检测 具有高精准度,能够准确地检测样品中塑化剂的具体含量。 由于 ELISA 试剂盒法是基于酶联免疫反应,而酶联免疫反 应自身具有很强的特异性,故 ELISA 试剂盒法可以对样品 中塑化剂进行定性分析。通过将 ELISA 试剂盒法对 DBP 的 检测结果与 GC-MS 法的比较分析,发现试剂盒法的检测 值比 GC-MS 法的检测值要大 $3.4 \sim 5.5$ 倍,但考虑到试剂 盒法在检测过程中采用的是人工操作,受外界的影响较大, 而 GC-MS 法在检测过程中完全是由仪器的自动运行,外 界的干扰对其影响很小,故 ELISA 试剂盒法的检测结果是 可以接受的,因此邻苯二甲酸二丁酯(DBP)ELISA 试剂盒能 够对红酒中的 DBP 进行快速的初步定量分析。在本研究中 通过 GC-MS 法检测到红酒中主要含有 3 种塑化剂(DIBP, DBP, DEHP), 但只对邻苯二甲酸二丁酯(DBP)进行了酶联 免疫检测,研究结果只能说明 DBP 的 ELISA 试剂盒法符合 快速检测的要求,但不能验证其他塑化剂 ELISA 试剂盒法 的检测效果。本研究对红酒中塑化剂的分析检测具有参考

意义和实际应用价值。

参考文献

- 1 李明. 中国成最大红酒消费国[N]. 解放日报, 2014—01—30 (06)
- 2 王炜,魏光辉,邓永继,等.邻苯二甲酸二-(2-乙基)己酯致小鼠隐 睾睾丸和附睾的组织病理学改变[J].中华男科学杂志,2004,10 (11):807~810,814.
- 3 刘慧杰. 邻苯二甲酸酯类化合物的毒理学效应及对人群健康的危害[J]. 第三军医大学学报,2004,26(19): $1778\sim1781$.
- 4 陈洪涛,王力清,黄翠莉,等.邻苯二甲酸酯毒理学研究进展[J]. 食品与机械,2012,28(5),251~254.
- 5 张前龙,王宇,曹云,等. 食品塑料包装中酞酸酯类环境污染物气相色谱测定方法的研究[J]. 中国卫生检验杂志,2009,19(12): $2833\sim2834$.
- 6 庞世敏,袁敏,赵桂兰,等. 气相色谱法测定邻苯二甲酸酯类增塑剂的研究[J]. 华南师范大学学报(自然科学版),2010,5(4):70~74.
- 7 李艳松,陈铁英,黄宝临,等. 食品中 16 种邻苯二甲酸酯类化合物的气相色谱测定方法[J]. 食品与机械, $2012,28(1):105\sim107$.

(下转第115页)

85

包装,尤其是充入固定比例气体的方式,在鲜切生菜贮藏期 间有效延缓了其品质的衰退,其感官评分在第14天依然在 可接受范围之内,而对照组在贮藏 10 d 后失去食用价值;有 效抑制了微生物的生长繁殖,细菌总数在贮藏期间相比对照 组下降了 $0.5\sim1.0$ 个数量级;有效维持了鲜切生菜的水分, 维持其脆嫩饱满的新鲜状态;在贮藏的前 6 d,相比对照组有 效抑制了PPO的活性,延缓了鲜切生菜的褐变;同时,也有 效抑制了鲜切生菜中 Vc和叶绿素的分解,一定程度上维持 了鲜切生菜的营养品质。另外,充气包装的3个试验组在各 项指标上差异并不明显,这说明气调在适当低浓度(5%~ 10%)的 O2和 CO2比例范围内,不同气调比例对鲜切生菜品 质的影响可能没有显著的差异。此外,在本研究中遗留两个 问题:① 气调包装是通过降低鲜切生菜代谢速度来维持其 品质起主导作用还是通过抑制微生物生长来维持鲜切生菜 品质起主导作用;② 气调比例与鲜切生菜 PPO 活性之间的 关系,在保证鲜切生菜呼吸代谢的同时能否最大限度的抑制 其 PPO 活性。这需要在以后的工作中进一步研究,以找到 最佳的气调比例来达到各影响因素的平衡点,更大限度发挥 气调包装在鲜切果蔬保鲜贮藏中的作用。

参考文献

- 1 冯双庆,赵玉梅. 水果蔬菜保鲜实用技术[M]. 北京: 化学工业 出版社, 2004: 172.
- 2 胡文忠. 鲜切果蔬科学与技术[M]. 北京:化学工业出版社,
- 3 余江涛,谢晶. 生菜保鲜技术研究现状[J]. 食品与机械,2013,29(5);226~233.
- 4 Xu LiangJi. Use of ozone to improve the safety of fresh fruits and vegetables [J]. Food Technology, 1999, 53(10): 58∼61.
- 5 林永艳,谢晶,朱军伟. 清洗方式对鲜切生菜保鲜效果的影响 「J门. 食品与机械,2012,28(1);211~213.
- 6 张宁. 臭氧降解蔬菜中农药残留机理与效果研究[J]. 食品与机械,2006,22(4):57~59,66.
- 7 张向阳,王丹,马越. 清洗方式对鲜切胡萝卜处理效果的影响 [J]. 食品与机械,2012,28(5):189~192.
- 8 王瑾, 林向阳, 阮榕生. 高浓度臭氧水对鲜切花椰菜保鲜的研究 「J]. 食品科学, 2008, 29(8): 607~611.
- 9 王肽, 谢晶. 臭氧水处理对鲜切茄子保鲜效果的研究[J]. 食品 工业科技, 2013, 34(3): 324~328.
- 10 陈欢欢,邓玉璞,冯建华,等. 青椒 MAP 保鲜效果研究[J]. 食品 科技, 2013, 38(10): 36~39.
- 11 张玉敏,胡长鹰,吴宇梅,等. 气调包装对番石榴贮藏品质的影响[J]. 食品与机械,2012,28(2): $180\sim183$.
- 12 Fernández-León M F, Fernández-León A M, Lozano M, et al. Different postharvest strategies to preserve broccoli quality during storage and shelf life; Controlled atmosphere and 1-MCP [J]. Food Chemistry, 2013(138); 564~573.
- 13 Ana BM, Daniel R, Catherine BR. Green tea extract as a natu-

- ral antioxidant to extend the shelf-life of fresh-cut lettuce[J]. Innovative Food Science and Emerging Technologies, 2008(9): 593~603
- 14 曹建康,姜微波,赵玉梅,果蔬采后生理生化实验指导[M]. 北京:中国轻工业出版社,2007:31.
- 15 William P I, Paul R B. Extinction coefficients of chlorophyll a and b in N, N-dimethylformide and 80% acetone [J]. Plant Physiol, 1985(77); 483~485.
- 16 Zhan Lijuan, Li Yu, Hu Jinqiang. Browning inhibition and quality preservation of fresh-cut romaine lettuce exposed to high intensity light[J]. Innovative Food Science and Emerging Technologies, 2012(14): 70~76.
- 17 张立奎, 陆兆新, 郁志芳. 臭氧水处理鲜切生菜贮藏期间的品质变化[J]. 食品与发酵工业, 2004, 30(3): 128~131.
- 18 Waghmare R B, Annapure U S. Combined effect of chemical treatment and/or modified atmosphere packaging (MAP) on quality of fresh-cut papaya[J]. Postharvest Biology and Technology, 2013(85): 147~153.
- 19 张引成,雷云,王志英. 二氧化碳气调包装对鲜切结球莴苣贮藏 品质和生理的影响[J]. 食品科学,2012,33(8): $318\sim322$.
- 20 Gomes M H, Fundo J F, Pocas M F. Quality changes in freshcut Rocha' pear as affected by oxygen levels in modified atmosphere packaging and the pH of antibrowning additive[J]. Postharvest Biology and Technology, 2012(74): 62~70.
- 21 Xing Yage, Li Xihong, Xu Qianlian. Effects of chitosan-based coating and modified atmosphere packaging (MAP) on browning and shelf life of fresh-cut lotus root (Nelumbo nucifera Gaerth)
 [J]. Innovative Food Science and Emerging Technologies, 2010
 (11), 684~689.

(上接第 85 页)

- 8 黄丽雪, 刘丽霞, 董同力嘎, 等. 高效液相色谱法测定 3 种邻苯类 增塑剂检测条件的研究[J]. 包装工程, 2012, 33(17); 39~43.
- 9 陈建煌. 高效液相色谱法分析皮革制品中 16 种塑化剂[J]. 西部皮革,2013,35(6):40~44.
- 10 邵栋梁. GC—MS 法测定白酒中邻苯二甲酸酯残留量[J]. 化学分析计量,2010,19(6):33~35.
- 11 谭和平,钱杉杉,史谢飞. GC/MS 法测定室内空气中邻苯二甲酸 酯类物质[J]. 分析试验室,2012,31(8), $15\sim19$.
- 12 李飞,陈静,张耀广.GC—MS 检测乳制品中 15 种邻苯二甲酸酯 物质方法研究[J].中国乳品工业,2011,39(10):50~53.
- 13 方志青,林野,王娅,等. 气相色谱—质谱法测定塑料水杯浸出液中 16 种邻苯二甲酸酯[J]. 食品与机械,2014,30(2):78~80.
- 14 刘红河,黄晓群,王晖.高效液相色谱—串联质谱法测定食品中 邻苯二甲酸酯[J].现代预防医学,2008,35(1):119~121.
- 15 黄珂,赵东豪,黎智广.高效液相色谱—串联质谱法测定水中邻 苯二甲酸酯[J].海洋环境科学,2011,30(4):590~593.
- 16 杨荣静,卫碧文,高欢.高效液相色谱—串联质谱法检测食品接触材料中的 17 种邻苯二甲酸酯类增塑剂[J].环境化学,2012,31(6):925~929.